



## **Utjecaj zasjenjenja na fotonaponske sustave** *Influence of shading on the photovoltaic systems*

**D. Topić<sup>\*</sup>, G. Knežević, D. Šljivac, M. Žnidarec**

Fakultet elektrotehnike, računarstva i informacijskih tehnologija Osijek, Sveučilište J.J. Strossmayera u Osijeku, Hrvatska

\*Autor za korespondenciju. E-mail: [danijel.topic@ferit.hr](mailto:danijel.topic@ferit.hr)

### **Sažetak**

Ovaj rad istražuje utjecaj zasjenjenja na fotonaponske sustave. Napravljen je pregled literature koja proučava utjecaj zasjenjenja i nataložene prljavštine na proizvodnju električne energije fotonaponskih sustava. Proučiti će se utjecaj zasjenjenja na karakteristike polikristalnih fotonaponskih modula temeljen na mjerenjima i analizi rezultata. Na temelju mjeranja, modelirati i izračunati će se utjecaj zasjenjenja na proizvodnju električne energije fotonaponskih sustava s polikristalnim fotonaponskim modulima.

### **Abstract**

This paper deals with influence of shading on photovoltaic systems. Review of scientific papers dealing with influence of shading and influence of dust deposition on electricity generation of the photovoltaic systems will be shown. Influence of shading on characteristic of the multicrystalline PV module will be measured and investigated. Based on measurement results, influence of shading on electricity generation of the PV system with multicrystalline PV modules will be modelled and expected electricity generation will be calculated.

**Ključne riječi:** zasjenjenje, polikristalni fotonaponski moduli, fotonaponski sustav, gubici električne energije, proizvodnja električne energije.

### **1. Uvod**

Tranzicija gospodarstava razvijenih zemalja svijeta u nisko-ugljično gospodarstvo rezultiralo je masovnom integracijom elektrana na obnovljive izvore energije u elektroenergetski sustav. Razne potpore i pozitivna klima vezana uz obnovljive izvore energije rezultirale su procijenjenim udjelom u ukupno proizvedenoj električnoj energiji u 2016. godini od 24,5%, od kojih je 16,6% proizvedeno u konvencionalnim hidroelektranama. Najveću godišnju stopu rasta instalirane snage imaju fotonaponski (FN) sustavi s oko 75 GW novoinstaliranih kapaciteta, što čini rast od oko 33% u odnosu na 2015. godinu. Prema [1], procijenjena ukupna instalirana snaga FN sustava u 2016. godini je iznosila 303 GW [1].



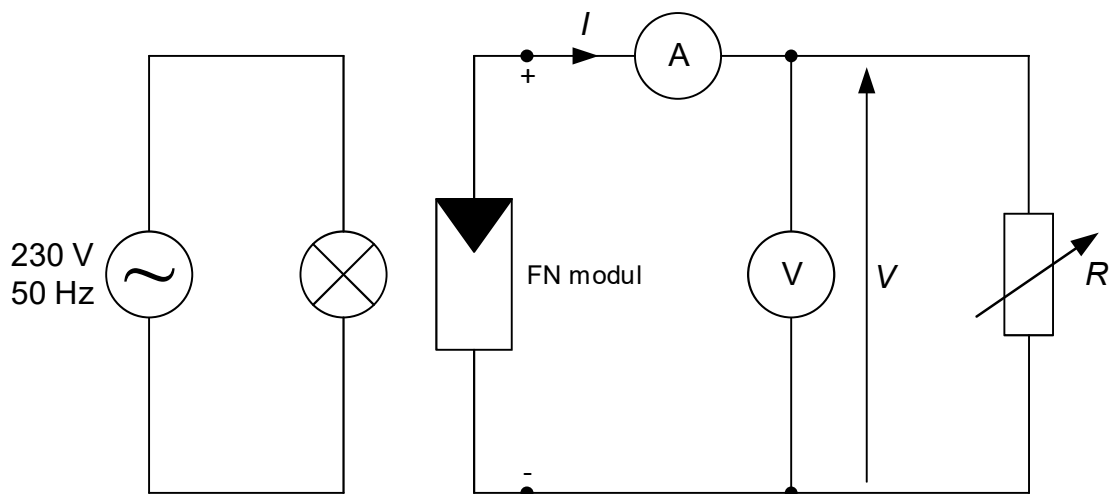
Kako je svaki sustav za proizvodnju električne energije ovisan o raznim čimbenicima koji utječe na njega tako su i FN sustavi ovisni o nekoliko ključnih čimbenika. Prvi i najvažniji čimbenik je intenzitet sunčevog zračenja koji je neophodan za proizvodnju električne energije. Dode li do promjene u intenzitetu sunčevog zračenja, doći će i do promjene izlazne snage ovih sustava. Čimbenici kao što su temperatura, klimatski uvjeti i zasjenjenje dodatno unose gubitke u proizvodnji električne energije [2]. Utjecaj zasjenjenja na strujno-naponske karakteristike FN modula proučen je u [3], [4], [5], [6] i [7]. Rezultati istraživanja su pokazali da gubici snage uslijed zasjenjenja ovise o veličini i položaju zasjenjene površine FN modula te konfiguraciji FN ćelija i zaobilaznih dioda. Matematički model za određivanje optimalne konfiguracije FN sustava uzimajući u obzir među-redno zasjenjenje FN modula je obrađen u [8]. Utjecaj zasjenjenja na proizvodnju električne energije FN modula uzimajući u obzir orientaciju, broj zaobilaznih dioda, konfiguraciju FN ćelija i među-redno zasjenjenje proučen je u [9]. Zasjenjenje površine FN modula može nastati i uslijed taloženja čestica tijekom vremena. Količina nataloženih čestica ovisi u geografskom položaju, uvjetima instalacije FN sustava te o klimatskim uvjetima. Prema [10], slučaju dugih razdoblja bez kiša, proizvodnja električne energije FN sustava se može smanjiti i za 15%. Utjecaj taloženja čestica na karakteristike proučeni su i u [11] i [12]. U 2. poglavlju rada opisana je metoda mjerena *I-U* karakteristika, tehničke karakteristike FN modula na kojemu su mjerena izvršena te su opisani scenariji zasjenjenja. Rezultati mjerena su grafički prikazani u 3. poglavlju pomoću *I-U* i *P-U* karakteristika. U 4. poglavlju je izvršena analiza utjecaja zasjenjenja na izlaznu snagu modula i proizvodnju električne energije FN sustava snage 10 kW<sub>p</sub>.

## 2. Metodologija mjerena

Sva mjerena na FN modulima su izvršena u Laboratoriju za obnovljive izvore energije na FERIT-u Osijek.

### 2.1. Mjerene *I-U* karakteristika

Kao izvor svjetlosti, za mjerena je korišten umjetni izvor svjetlosti sastavljen od halogenih žarulja. Valna duljina svjetlosti halogenih žarulja se najbolje podudara s valnom duljinom svjetlosti Sunca. Za mjerene *I-U* karakteristika korišteni su izmjenični izvor električne energije za napajanje izvora svjetlosti, piranometar za mjerene intenziteta svjetlosnog zračenja, digitalni vatmetar za mjerene napona i struje, regulacijski otpornik i spojni vodiči. Električna shema korištена za mjerene *I-U* karakteristike prikazana je na slici 1 dok je postupak mjerena u laboratorijskim uvjetima prikazan na slici 2.



**Slika 1.** Shema strujnog kruga za mjerjenje  $I$ - $U$  karakteristika



**Slika 2.** Mjerjenje  $I$ - $U$  karakteristika u laboratoriju

Utjecaj zasjenjenja ispitivan je mjeranjima na polikristalnom FN modulu BISOL BMU-250. Tehničke karakteristike FN modula BISOL BMU-250 prikazane su u tablici 1 [13].



**Tablica 1.** Tehničke karakteristike FN modula BISOL BMU-250

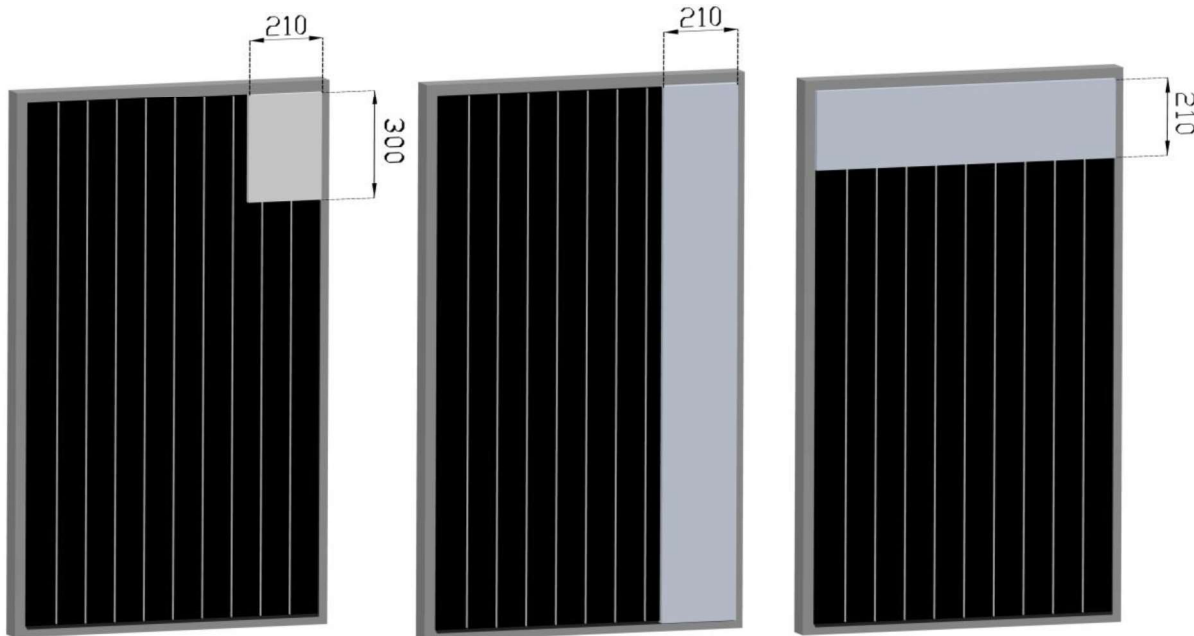
|  |                 |
|--|-----------------|
| Nazivna snaga $P_{mpp}$ [W]                      | 250             |
| Napon u točki maksimalne snage $U_{mpp}$ [V]     | 30,3            |
| Struja u točki maksimalne snage $I_{mpp}$ [A]    | 8,25            |
| Struja kratkog spoja $I_{sc}$ [A]                | 8,75            |
| Napon praznog hoda $U_{oc}$ [V]                  | 38,4            |
| Učinkovitost FN modula $\eta_m$ [%]              | 15,3            |
| Učinkovitost FN ćelije $\eta_c$ [%]              | 17,1            |
| NOCT [°C]  | 44              |
| Temperaturni koeficijent struje $\alpha$ [mA/°C] | +4,9            |
| Temperaturni koeficijent napona $\beta$ [mV/°C]  | -121            |
| Temperaturni koeficijent snage $\gamma$ [%/°C]   | -0,35           |
| Dimenzije (D x Š x V) [mm x mm x mm]             | 1649 x 991 x 40 |

## 2.2. Simulacija zasjenjenja

U ovom radu je izvršeno snimanje  $I-U$  karakteristika za sljedeće scenarije zasjenjenja:

- Zasjenjen gornji desni kut
- Zasjenjen desni stupac
- Zasjenjen prvi red
- Simulacija ptičjeg izmeta kao zasjenjenja

U prvom scenariju zasjenjenja, gornji desni kut, zasjenjena je površina dimenzija 210 x 300 mm u gornjem desnom kutu FN modula. Ova vrsta scenarija prekriva dvije FN ćelije prva dva reda u stupcu najbližem desnom rubu. Površina scenarija zasjenjenja desnog stupca prekriva stupac FN ćelija uz desni rub modula čija širina iznosi 210 mm, a dužina mu je jednaka dužini cijelog FN panela. Površina scenarija zasjenjenja prvog reda prekriva red FN ćelija uz gornji rub modula čija je širina jednaka širini cijelog modula. Modeli FN modula s prva tri scenarija zasjenjenja te dimenzijsama zasjenjene površine prikazani su na slici 3.



**Slika 3.** Prikaz scenarija zasjenjivanja FN modula: gornji desni kut (lijevo), desni stupac (sredina), prvi red (desno)

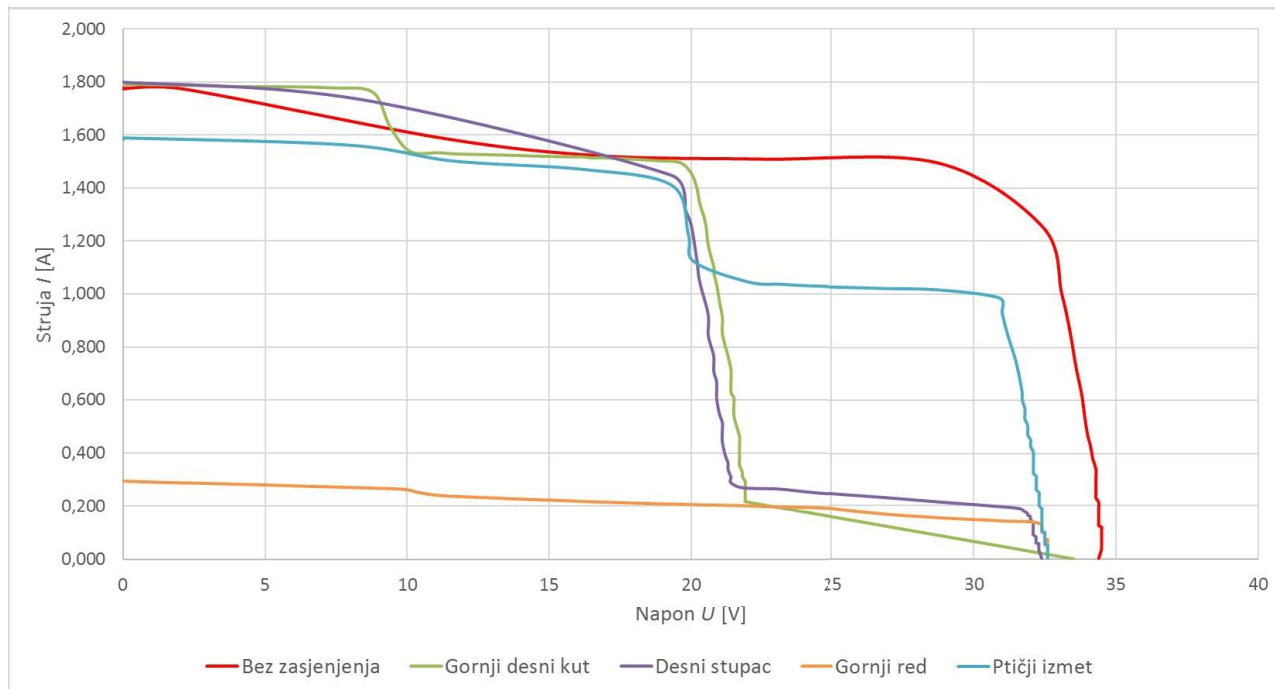
Zadnji scenarij zasjenjenja je simulacija ptičjeg izmeta. Zasjenjenje se sastoji od dvije površine dimenzija 70 x 60 mm koje simuliraju ptičji izmet. Prva površina je postavljena u 3. stupac, 5. red, a druga u 4. stupac, 4. red FN ćelija. Simulacija ptičjeg izmeta kao zasjenjenja na modelu FN modula prikazana je na slici 4.



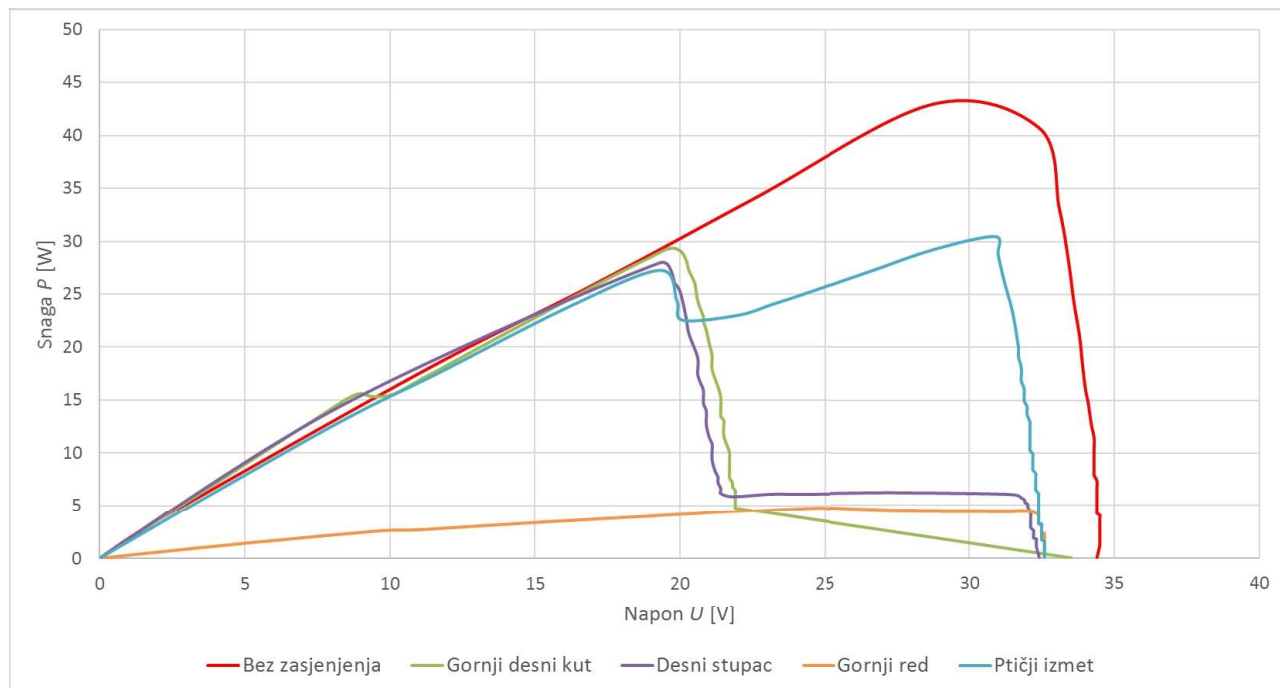
**Slika 4.** Simulacija ptičjeg izmeta kao zasjenjenja

### 3. Rezultati mjerena

Na temelju mjerena formirane su *I-U* i *P-U* karakteristike prikazane na slici 5 i slici 6 za različite scenarije zasjenjenja.

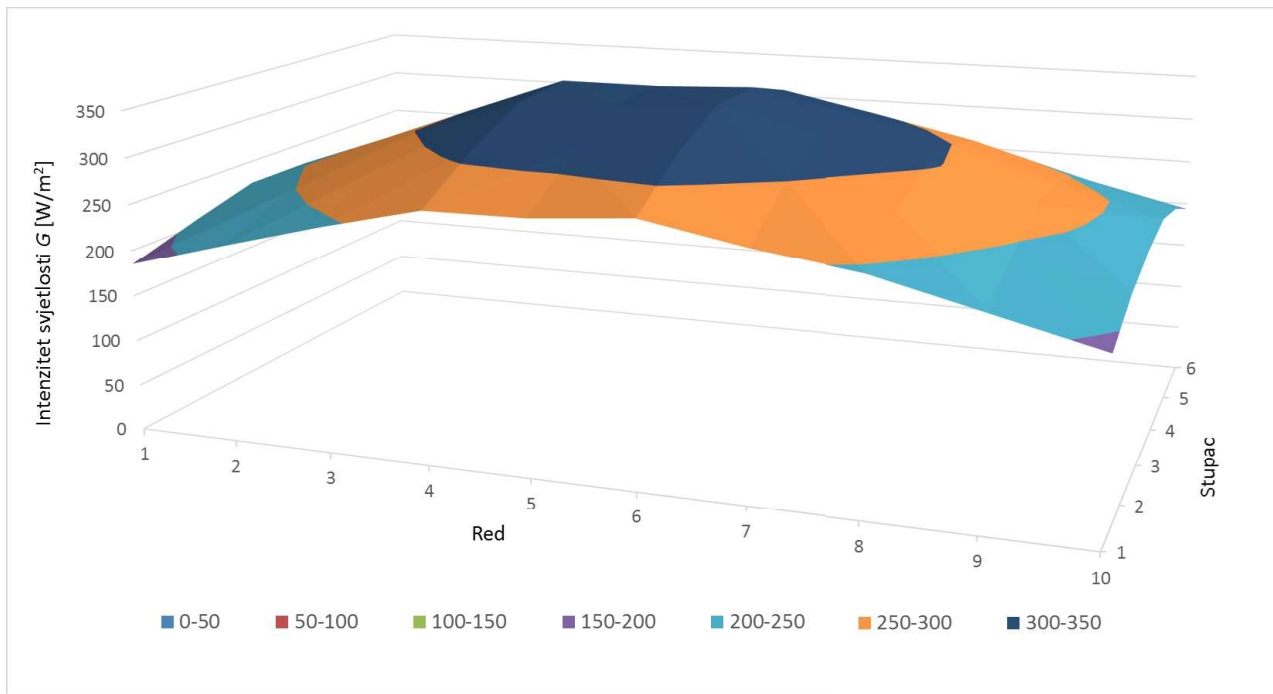


**Slika 5. *I-U* karakteristike za različite scenarije zasjenjenja**



**Slika 6. *P-U* karakteristike za različite scenarije zasjenjenja**

Srednja vrijednost intenziteta zračenja umjetnog izvora svjetlosti prilikom mjerjenja svih *I-U* karakteristika iznosi 270,51 W/m<sup>2</sup>. Distribucija intenziteta svjetlosti po površini FN modula BISOL BMU-250 prilikom mjerjenja *I-U* karakteristika prikazana je na slici 7.



**Slika 7.** Distribucija intenziteta svjetlosti po površini FN modula

#### 4. Analiza rezultata mjerjenja

Izlazna snaga nezasjenjenog FN modula u točki maksimalne snage iznosi 42,93 W. Na osnovu mjerjenja izračunati su postotni gubici snage uslijed zasjenjenja FN modula po pojedinim scenarijima u odnosu na izlaznu snagu nezasjenjenog modula prema relaciji

$$P_{g\%} = \frac{P_n - P_s}{P_n} \cdot 100 \% \quad (1)$$

gdje su:

$P_{g\%}$  – postotni gubitak snage

$P_s$  – snaga u točki maksimalne snage za pojedini scenarij zasjenjenja

$P_n$  – snaga u točki maksimalne snage nezasjenjenog FN modula.

Izlazna snaga u točki maksimalne snage za slučaj zasjenjenja prvog reda FN modula iznosi 4,74 W. Postotni gubitak snage za scenarij zasjenjenja prvog reda stoga iznosi:

$$P_{g\%} = \frac{P_n - P_s}{P_n} \cdot 100 = \frac{42,93 - 4,74}{42,93} \cdot 100 = 88,96 \%$$

Postotni gubici snage za sve scenarije zasjenjenja prikazani su u tablici 2.

**Tablica 2.** Postotni gubici snage za pojedini slučaj zasjenjenja

| Scenarij zasjenjenja | Postotni gubitak snage [%] |
|----------------------|----------------------------|
| Gornji desni kut     | 31,75                      |
| Desni stupac         | 34,91                      |
| Prvi red             | 88,96                      |
| Ptičji izmet         | 29,11                      |

Utjecaj zasjenjenja na proizvodnju električne energije iz FN sustava izrađenog od polikristalnih FN modula izračunat je pomoću mjerena o dozračenoj energiji Sunca preuzetih iz PVGIS sustava. Tablica 3 prikazuje prosječnu dnevnu i mjesecnu proizvedenu električnu energiju iz FN sustava snage 1 kW<sub>p</sub> postavljenog na lokaciju zgrade FERIT-a Osijek za pojedine mjeseca u godini [14]. FN sustav je načinjen od FN modula izrađenih od kristalnog silicija postavljenih pod kutom od 33°, koliko iznosi i optimalni kut za ovu lokaciju. FN moduli su orijentirani prema jugu, a prepostavljeni gubici snage FN sustava iznose 14%.

**Tablica 3.** Dnevna i mjesecna prosječna proizvodnja električne energije iz FN sustava snage 1 kW<sub>p</sub> za lokaciju zgrade FERIT-a Osijek

| Mjesec                       | E <sub>d</sub> [kWh] | E <sub>m</sub> [kWh] |
|------------------------------|----------------------|----------------------|
| siječanj                     | 1,36                 | 42,1                 |
| veljača                      | 2,12                 | 59,5                 |
| ožujak                       | 3,42                 | 106                  |
| travanj                      | 4,10                 | 123                  |
| svibanj                      | 4,32                 | 134                  |
| lipanj                       | 4,32                 | 133                  |
| srpanj                       | 4,6                  | 143                  |
| kolovoz                      | 4,44                 | 138                  |
| rujan                        | 3,55                 | 10                   |
| listopad                     | 2,96                 | 91,9                 |
| studeni                      | 1,78                 | 53,4                 |
| prosinac                     | 1,09                 | 33,8                 |
| <b>Ukupno godišnje [kWh]</b> |                      | <b>1164,7</b>        |

Gdje su:

$E_d$  – prosječna dnevna proizvedena električna energija iz FN sustava snage 1 kW<sub>p</sub>

$E_m$  – prosječna mjesecna proizvedena električna energija iz FN sustava snage 1 kW<sub>p</sub>

Na osnovu mjerena od mjesecnoj proizvodnji električne energije iz FN sustava snage 1 kW<sub>p</sub> preuzetih iz PVGIS sustava za lokaciju zgrade FERIT-a Osijek, prikazanih u tablici

3, izračunati će se godišnja proizvedena električna energija za FN sustav snage  $10 \text{ kW}_p$  za nezasjenjenje FN module i za scenarij zasjenjenja ptičjim izmetom. Prema tablici 2, gubici izlazne snage FN modula za scenarij zasjenjenja ptičjim izmetom iznose 29,11%. Tablica 4 prikazuje prosječnu mjesecnu i godišnju proizvedenu električnu energiju iz FN sustava snage  $10 \text{ kW}_p$  za scenarij zasjenjenja ptičjim izmetom te za scenarij nezasjenjenih FN modula.

**Tablica 4.** Mjesečna i godišnja prosječna proizvodnja električne energije iz FN sustava snage  $10 \text{ kW}_p$  za scenarij zasjenjenja ptičjim izmetom i za nezasjenjene FN module

| Mjesec                       | Zasjenjeni FN moduli<br>(ptičji izmet) [kWh] | Nezasjenjeni FN moduli [kWh] | Gubici [kWh]   |
|------------------------------|--|------------------------------|----------------|
| siječanj                     | 298,45                                       | 421                          | 122,55         |
| veljača                      | 421,8  | 595                          | 173,2          |
| ožujak                       | 751,43                                       | 1060                         | 308,57         |
| travanj                      | 871,95                                       | 1230                         | 358,05         |
| svibanj                      | 949,93                                       | 1340                         | 390,07         |
| lipanj                       | 942,84                                       | 1330                         | 387,16         |
| srpanj                       | 1013,73                                      | 1430                         | 416,27         |
| kolovoz                      | 978,28                                       | 1380                         | 401,72         |
| rujan                        | 758,52                                       | 1070                         | 311,48         |
| listopad                     | 651,48                                       | 919                          | 267,52         |
| studeni                      | 378,55                                       | 534                          | 155,45         |
| prosinac                     | 239,61                                       | 338                          | 98,39          |
| <b>Ukupno godišnje [kWh]</b> | <b>8256,56</b>                               | <b>11647</b>                 | <b>3390,44</b> |

## 5. Zaključak

Zasjenjenje ima ogroman utjecaj na izlazne karakteristike fotonaponskih modula. Prema mjeranjima se može zaključiti da zasjenjenje značajno deformira *I-U* i *P-U* karakteristike fotonaponskih modula. Stupanj deformacije ovisi o položaju i veličini zasjenjenje površine te o broju i spoju zaobilaznih dioda ugrađenih u fotonaponski modul. Analizom rezultata mjeranja najveći gubici snage se pojavljuju u slučaju zasjenjenja prvog reda fotonaponskog modula te iznose 88,96%. Razlog ovolikog iznosa gubitka snage je način spajanja zaobilaznih dioda jer se ovim scenarijem zasjenjenja propusno polariziraju sve zaobilazne diode te se premošćuju svi serijski spojeni stupci fotonaponskih celija. Iz rezultata mjeranja se vidi i vrlo mala razlika u postotnim gubicima između scenarija zasjenjenja gornjeg desnog kuta i cijelog desnog, iako je razlika u zasjenjenoj površini velika. Razlog maloj razlici postotnih gubitaka snage je također premoštenje stupaca fotonaponskih celija pomoću zaobilaznih dioda.

Promatran je i utjecaj zasjenjenja površine fotonaponskog modula ptičjim izmetom na godišnju proizvodnju električne energije fotonaponskog sustava snage  $10 \text{ kW}_p$ . Utjecaj je izračunat pomoću izmjerenih *I-U* karakteristika i podataka o dnevnoj i mjesecnoj prosječnoj proizvodnji električne energije iz  $1 \text{ kW}_p$  fotonaponskog sustava za pojedine

mjesece u godini, preuzetih iz PVGIS sustava. Zasjenjenje je smanjilo godišnju proizvedenu električnu energiju iz promatranog fotonaponskog sustava za 3390,44 kWh. Ovim smanjenjem se vidi velik utjecaj zasjenjenja na proizvodnju električne energije, a samim time i utjecaj na vrijeme povrata investicije.

## 6. Literatura

- [1] REN21 2017. Renewables 2017 Global Status Report // *REN21 Secretariat*, Paris, 2017.
- [2] Masters, Gilbert M. Renewable and Efficient Electric Power Systems. John Wiley & Sons, Inc., Hoboken, New Jersey, 2004.
- [3] Seme, Sebastijan; Štumberger, Gorazd. Shading effects in the I-V characteristic of a mono-crystalline PV module // *Proceedings of XII INTERNATIONAL PHD WORKSHOP OWD 2010* / Kłapyta, Grzegorz (ISBN 83-922242-7-2). Wiśla, Polska, 23.10.-26.10.2010.
- [4] Zulu, Andrew; Kashweka. The Influence of Artificial Light and Shading on Photovoltaic Solar Panels // *International Journal of Energy Engineering*, 3(2013), 1; 15-20. (ISSN 2163-1891)
- [5] Sun, Yunli; Li, Xiangzhi; Hong, Ruijiang; Shen, Hui. Analysis on the Effect of Shading on the Characteristics of Large-scale on-grid PV System in China // *Energy and Power Engineering*, 5(2013), 4B; 215-218.
- [6] Dolara, Alberto; Lazariou, George Cristian; Leva, Sonia; Manzolini, Giampaolo. Experimental investigation of partial shading scenarios on PV(photovoltaic) modules // *Energy*, 55(2013); 466-475.
- [7] Žnidarec, Matej; Topić, Danijel; Bušić, Josip. Influence of Shading on I-V Characteristics of Thin Film PV Modules // *Journal of Energy Technology*, 10(2017), 1; 47-58.
- [8] Topić, Danijel; Knežević, Goran; Fekete, Krešimir. The mathematical model for finding an optimal PV system configuration for the given installation area providing a maximal lifetime profit // *Solar Energy*, 144(2017); 750-757.
- [9] Knežević, Goran; Topić, Danijel; Žnidarec, Matej; Štumberger, Bojan; Hadžiselimović, Miralem; Seme, Sebastijan. Comparison of the Shading Influence on PV Modules of Different Technologies // *Proceeding of 10th International Conference on Sustainable Energy and Environmental Protection* / Kropo, Jurij; Olabi, Abdul Ghani; Goričanec, Darko; Božičnik, Stanislav (ISBN 978-961-286-061-5). Bled, Slovenija, 27.6.-30.6.2017.
- [10] Weber, Bernd; Quiñones, Angélica; Almanza, Rafael; Duran, M. Dolores. Performance Reduction of PV Systems by Dust Deposition // *Energy Procedia*, 57(2014); 99-108.
- [11] Rao, Abhishek; Pillai, Rohit; Mani, Montro; Ramamurthy, Praveen. Influence of Dust Deposition on Photovoltaic Panel Performance // *Energy Procedia*, 54(2014); 690-700.

- [12] Saidan, Motasem; Albaali, Abdul Ghani; Alasis, Emil; Kaldellis, John K. Experimental study on the effect of dust deposition on solar photovoltaic panels in desert environment // *Renewable Energy*, 92(2016); 499-505.
- [13] Bisol BMU-250. <http://www.bisol.com/images/Datasheets/CRO/BISOL Premium BMU HR.pdf> pristupljeno 7.7.2017.
- [14] Photovoltaic Geographical Information System (PVGIS). <http://re.jrc.ec.europa.eu/pvgis/> pristupljeno 17.7.2017.